

## (10) 水質予測計算における変動量の時間平均スケールについて

### SENSITIVITY OF THE TIME AVERAGED VARIABLES TO WATER QUALITY SIMULATION

堀江 敏<sup>\*</sup>  
Takeshi HORIE

ABSTRACT ; The water quality in coastal waters, lakes and lagoons is controlled by various processes of the different time scale as second, minute, day, week, month, season, or more than several years. At the same time, the water quality distribution is determined by the resultant of the accumulation from the past. On the seawater quality prediction, the acquisition of the detail data of the past is mostly impossible, and the model that accurately reproduces all phenomena varied with different time scale could not exist. For this reason, each process such as current, temperature, illumination, dissolved oxygen, settling rate is treated by its averaged value with respect to diurnal, monthly, seasonal, or annual mean. This paper describes the applicability of time averaging treatment of internal production rate, decomposition rate, oxygen uptake rate, O-P settling rate, etc. According to the present investigation, the application of the average with preferable time scale makes the prediction procedure easy and produces the similar result as the analysis due to the time-varying parameters.

KEYWORDS ; WATER QUALITY, SIMULATION, TIME-AVERAGING, NUTRIENT RELEASE RATE

#### 1. まえがき

海城、湖沼などの水域にありする水質は、物、分単位の細かい変化から、日、週、月、季節、さらには数年以上の大きな時間スケールで変動する物理的、化学的、および生物学的な過程に支配されている。またこのような過程を通じて形成される水質分布は過去からの累積の結果として生じたものといえる。したがって、水質を厳密な意味で予測するためには、短期的あるいは長期的大変動する水質支配過程をモデルにどの程度詳細に入力し、かつ同時に時間的にどの程度まで過去にさかのぼって計算を始めたのが最適かはしばしば問題となる。大小の時間スケールで変動する諸過程と現時点に至るまでの間にたどることは不可能に近く、これに耐え得るモデルもないといってよい。このため、水質予測の目的に応じて、流れ、水温、日照、溶存酸素、沈降量などの変動、月変動、あるいは経年変動を大小種々の時間スケールで平均化して取扱うこととしている。

本研究は、上述の背景をもとに、リンの循環を取った水質および底質モデルによって、時間平均のスケールを変えた計算から日周変動とする生産速度、年間変動とする生産、分解、酸素消費、および長期的な蓄積による底泥からの溶出速度に対する底度を算出し、平均化の妥当性について検討したものである。

#### 2. シミュレーションに用いられるモデル

##### 2.1 水質予測モデル

海城における物質循環を予測するため、図-1に示すような数値モデルが開発された。<sup>1)</sup>このモデルは、

\* 港湾技術研究所 Port and Harbour Research Institute

陸域よりの負荷、底泥からの溶出、有光層での内部生産、沈降、分解、移流、混合、拡散過程をとり込んだもので、有機態リン、リン酸態リン、溶解酸素、およびCODの時間的空間的濃度の計算を行うことができるようすに従って行うことができる。

すなわち、

有機態リン(O-P)、上層

$$\frac{\partial(O_P \cdot D_1)}{\partial t} = -\frac{\partial}{\partial x}(O_P \cdot U_i \cdot D_1)$$

$$-\frac{\partial}{\partial y}(O_P \cdot U_i \cdot D_1)$$

$$+\frac{\partial}{\partial x}(K_D \frac{\partial O_P}{\partial x})$$

$$+\frac{\partial}{\partial y}(K_D \frac{\partial O_P}{\partial y})$$

$$-K_2(O_{P1} - O_{P2}) + G \cdot O_{P1} \cdot D_1 - B_1^P \cdot O_{P1} - S_1^P \cdot O_{P1} + W \cdot O_{P1}^* + L_{op} \quad (1)$$

無機態リン(O-P)、下層

$$\frac{\partial(O_{P2} \cdot D_2)}{\partial t} = -\frac{\partial}{\partial x}(O_{P2} \cdot U_i \cdot D_2) - \frac{\partial}{\partial y}(O_{P2} \cdot U_i \cdot D_2) + \frac{\partial}{\partial x}(K_D \frac{\partial O_{P2}}{\partial x}) + \frac{\partial}{\partial y}(K_D \frac{\partial O_{P2}}{\partial y})$$

$$+K_2(O_{P1} - O_{P2}) - B_2^P \cdot O_{P2} \cdot D_2 - S_2^P \cdot O_{P2} + S_1^P \cdot O_{P1} - W \cdot O_{P2}^* \quad (2)$$

無機態リノ(Po<sub>4</sub>-P)、上層

$$\frac{\partial(I_P \cdot D_1)}{\partial t} = -\frac{\partial}{\partial x}(I_P \cdot U_i \cdot D_1) - \frac{\partial}{\partial y}(I_P \cdot U_i \cdot D_1) + \frac{\partial}{\partial x}(K_D \frac{\partial I_P}{\partial x}) + \frac{\partial}{\partial y}(K_D \frac{\partial I_P}{\partial y})$$

$$-K_2(I_{P1} - I_{P2}) - G \cdot O_{P1} \cdot D_1 + B_1^P \cdot O_{P1} \cdot D_1 + W \cdot I_{P1}^* + L_{ip} \quad (3)$$

無機態リノ(Po<sub>4</sub>-P)、下層

$$\frac{\partial(I_P \cdot D_2)}{\partial t} = -\frac{\partial}{\partial x}(I_P \cdot U_i \cdot D_2) - \frac{\partial}{\partial y}(I_P \cdot U_i \cdot D_2) + \frac{\partial}{\partial x}(K_D \frac{\partial I_P}{\partial x}) + \frac{\partial}{\partial y}(K_D \frac{\partial I_P}{\partial y})$$

$$+K_2(I_{P1} - I_{P2}) - B_2^P \cdot O_{P2} \cdot D_2 + W_{ip} \cdot C_b \cdot SS \cdot D_2 - W \cdot I_{P2}^* + R_{ip} \cdot C_b \quad (4)$$

の4式、およびCOD、溶解酸素の上、下層に対する同様の式を合わせて計8式の構成されている。

ここで、t: 時間、(x, y): 直交直線座標系の水平2軸、(U<sub>i</sub>, V<sub>i</sub>): 第i層のx, y方向の流速成分(i=1, 2), W: 第1, 2層間の鉛直流速, D<sub>i</sub>: 第i層の層厚, O<sub>Pi</sub>: 第i層のO-P濃度, I<sub>Pi</sub>: 第i層のPo<sub>4</sub>-P濃度, K: 水平拡散係数, K<sub>2</sub>: 鉛直拡散係数, G: 生産速度, B<sub>i</sub><sup>P: 第i層のO-P分解速度, B<sub>i</sub><sup>C</sup>: 第i層のCOD分解速度, S<sub>i</sub><sup>P</sup>: 第i層のO-P沈降速度, R<sub>ip</sub>: リンの溶出速度, L<sub>ip</sub>: Po<sub>4</sub>-Pの流入負荷, L<sub>op</sub>: O-Pの流入負荷, W<sub>ip</sub>: 舞い上りによるリン除去速度, C<sub>b</sub>: 底泥のT-P濃度, SS: 舞い上りのSS濃度である。\*は水の方向によって上下側の値となる。</sup>

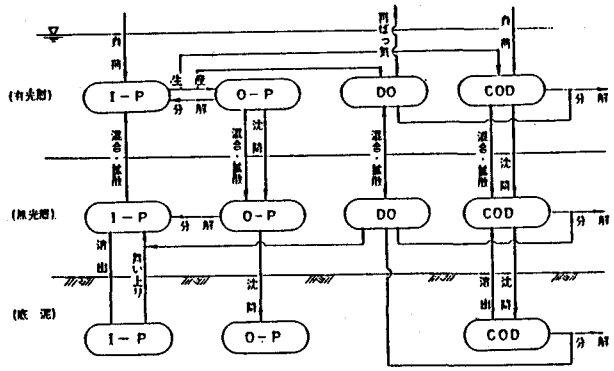


図-1 水質モデル

## 2.2 溶出モデル

海水中の懸濁態有機物の海底への沈積、底泥内での分解、溶存化、海水中への再溶出などの過程を図-2のようにモデル化した<sup>2)</sup>。先の水質モデルと同様、リンの挙動を着目してつぎのようす(簡略式)より、底層の底泥内について計算し、各層のO-P, I-P, 間隙水PO<sub>4</sub>-P, 溶出速度等をおめた。

有機態リン(O-P), 第n層

$$OP_n^{t+1} - OP_n^t = \{-r_n^t + DS \times (OP_{n-1}^t - OP_n^t) + DSL \times (OP_{n-1}^t - 2 \times OP_n^t + OP_{n+1}^t)\} \times \Delta t \quad (5)$$

無機態リン(I-P), 第n層

$$IP_n^{t+1} - IP_n^t = \left\{ \frac{1}{1 + \frac{1}{\phi_n d_n}} \times r_n^t + g_n^t + DS \times (IP_{n-1}^t - IP_n^t) + DSL \times (IP_{n-1}^t - 2 \times IP_n^t + IP_{n+1}^t) \right\} \times \Delta t \quad (6)$$

間隙水リン(PO<sub>4</sub>-P), 第1層

$$C_{w1}^{t+1} - C_{w1}^t = \left[ \frac{1}{1 + \frac{1}{\phi_1 d_1}} \times \frac{1}{\phi_1} \times r_1^t - \frac{1}{\phi_1} \times g_1^t + \left\{ \phi'_1 \times D \times \frac{C_{w1}^t - C_{w2}^t}{H_1} + \phi'_{n+1} \times D \times \frac{C_{w2}^t - C_{w1}^t}{H_2} \right\} \times \frac{1}{H_1} \right] \times \Delta t \quad (7)$$

間隙水リン(PO<sub>4</sub>-P), 第n層

$$C_{wn}^{t+1} - C_{wn}^t = \left[ \frac{1}{1 + \frac{1}{\phi_n d_n}} \times \frac{1}{\phi_n} \times r_n^t - \frac{1}{\phi_n} \times g_n^t + \left\{ \phi'_n \times D \times \frac{C_{wn+1}^t - C_{wn}^t}{H_{n+1} + H_n} + \phi'_{n+1} \times D \times \frac{C_{wn}^t - C_{wn+1}^t}{H_n + H_{n+1}} \right\} \times \frac{1}{H_n} \right] \times \Delta t \quad (8)$$

直上水の無機態リン(PO<sub>4</sub>-P)

$$C_w = \left( C_w^t + \frac{1}{1000} \times R^t \times \Delta t \right) \times DL \quad (9)$$

ここで、DS:堆積速度、DSL:攪乱係数、D:拡散係数、 $\phi$ :乾泥間隙水比、 $\phi'$ :間隙率、D:層厚、 $\alpha$ :生成PO<sub>4</sub>-Pの吸着分配率、g:吸脱着速度であり、各係数の右字は時間、左字は層を表す添字である。

## 3. 平均化の時間スケールについての検討

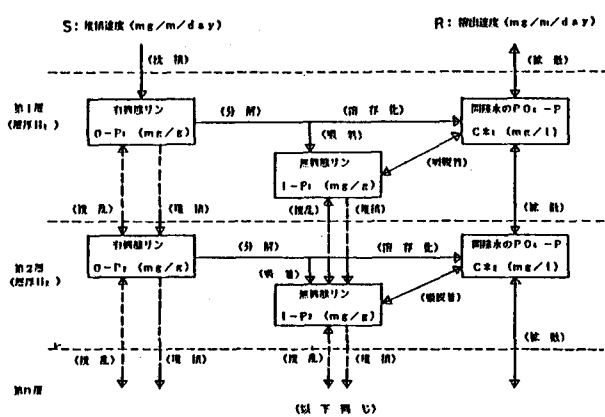


図-2 溶出モデル

### 3.1 生産速度の日平均化

式(1)および(3)に現れる生産速度( $G$ )は、水温( $T$ )、水中照度( $I$ )、 $P_{O_2}$ -P濃度( $C_P$ )などの関数としてつぎのように形で表される。

$$G = k \times e^{a(T-b)} \times \frac{I}{k_I + I} \times \frac{C_P}{k_{C_P} + C_P} \quad (10)$$

ここで、 $k$ 、 $a$ 、 $b$ 、 $k_I$ 、 $k_{C_P}$ および $k_{O_2}$ は定数である。

上式において、 $C_P$ は3.1で述べた水質モデルにより計算過程で内生されるが、水温( $T$ )と水中照度( $I$ )とは、厳密には天候、昼夜の時間帯、深度、水質等により時々刻々変化している。水中照度に限っていえば、図-3は大阪湾奥の一地点における実測値を示したものであり、時間的、層別に照度は大きく変化している。この照度は、水質分布の影響を加わって場所的にも変化するため、シミュレーションにおいては、空間的にはもちろんのこと、時間的にも平均化を行って用いる。水質やプランクトンの日周変動を調べる場合は、明暗の照度を時間に応じて変化させることは通常行わず、照度に関しては一定値を用いている。こうした場合、照度に日周変動をえた場合に比してどの程度の差違か水質分布に現れるかは専門のあるところである。そこで、いま極めて大胆に、生産速度の日周変動を正弦関数(ただし夜間は0とする)に置きかえて得られる水質分布と、日平均の一定値により得られるものと对比してみた。すなわち、日平均の生産速度 $\alpha$ (1/日)、正弦周波数で与えた時の昼間の生産速度を $b \sin(\frac{2\pi}{T}t)$ ( $T$ : 24時間)として、これら2時間積分値を等しくするような $b$ をつぎのようにして求めた。

$$\alpha T = \int_0^{\frac{T}{2}} b \sin\left(\frac{2\pi}{T}t\right) dt$$

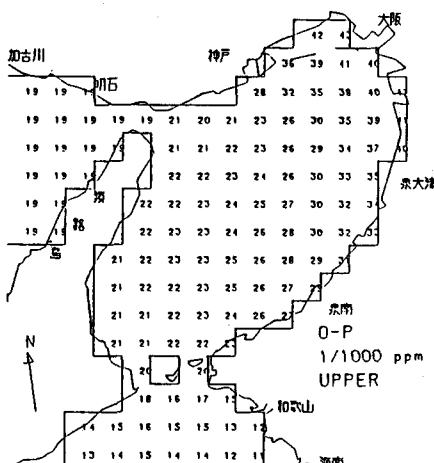


図-4(a) O-P濃度(生産速度一定の場合)

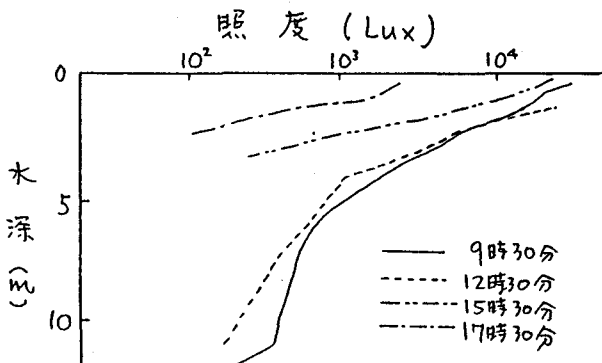


図-3 水中照度の時間変化

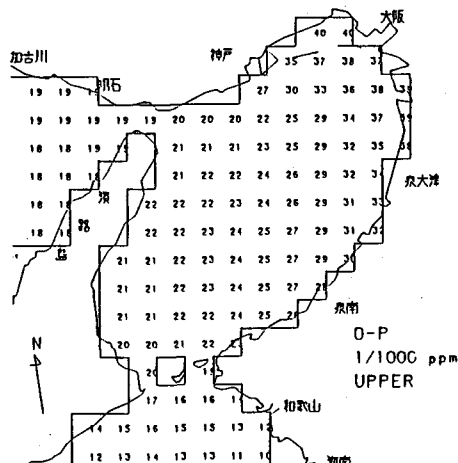


図-4(b) O-P濃度(生産速度日周変動あり)の場合

より、

$$b = a\pi$$

したがて、 $nT \leq t \leq (n + (1/2))T$  ( $n = 0, 1, 2, \dots$ ) に対しては  $a\pi \sin(2\pi t/T)$  なる生産速度を、さら  $t < (n + (1/2))T < t < (n + 1)T$  ( $n = 0, 1, 2, \dots$ ) に対しては 0 なる生産速度を与えて計算を行った。対象領域は大阪湾とし、水平格子は  $4\text{ km} \times 4\text{ km}$ 、鉛直的には 2 層で上層厚さを  $10\text{ m}$  として、O-P や COD の分解速度、溶出速度等のよう水温、また河港有機物質を閑散とす 3 ハラメータについては  $\gamma, \delta, \eta$  の平均値より走査定数を与えた。2.1.9 水質モデルによりタイムステップ 18 分で 12 時間周期をもつ潮汐流れの場で 60 潮汐分の非連続計算を行つた。こうして得られた O-P の上層の分布を両者対比したもののが図-4 である。この図によると、生産速度を一定とした場合と、日周変動を与えた場合とにあってほとんど差はないことがわかる。COD, PO<sub>4</sub>-P, 溶出酸素についても同様のことといえる。

### 3.2 周年変化の平均化

O-P や COD の分解速度、DO 消費速度、PO<sub>4</sub>-P や COD の溶出速度等は、水温と直接関係があり、日周変動をくつぬりしつつ季節的にも変化をしている。そこで同じ大阪湾に対し、M89055, 56, 57 年の 7, 8, 9 月の上層  $10\text{ m}$  の平均水温より走査上記パラメータを固定して得られた水質分布と、3 年の各月平均をタイムステップあたりスムージングして上記パラメータに周年変化を与えた場合の水質計算を行つた。モデルは 2.1.9 2 層モデルで 2 層に中層を設けた 3 層モデル（上層厚  $5\text{ m}$ 、中層厚  $5\text{ m}$ ）に依つた。パラメータを固

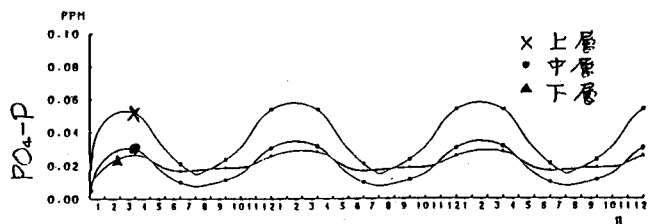


図-5 湾奥部上層の PO<sub>4</sub>-P (ハラメータ周年変化)

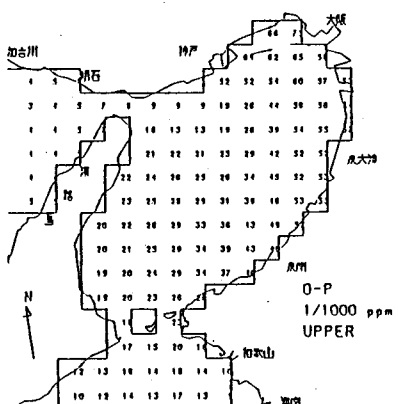


図-6(a) O-P 平面分布、上層  
(夏場の平均的パラメータで計算)

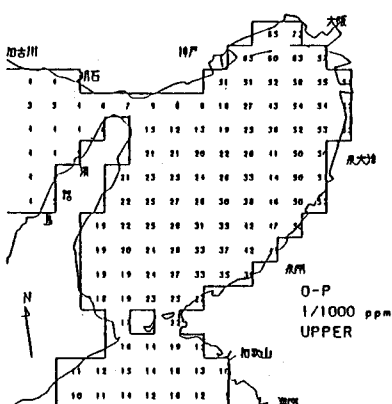


図-6(b) O-P 平面分布、上層  
(周年変化のパラメータ、結果の夏場平均値)

走したケースでは 120 潮汐で各水質ともほぼ一定となった。パラメータヒ周年変化を与えたケースについては 3カ年の計算を行つた。こうして得られた結果のうち、パラメータヒ周年変化を与えて得られた水質から湾奥部の一帯にかけた上層の O-P 値について示したもののが図-6 である。各層とも夏場で

高く冬場で低い周年変化が計算されている。他の項目についても同様の結果が得られている。これらの結果を第3年目の7, 8, 9月の計算値について平均して得られた上層O-Pの季節分布を、次の7, 8, 9月の平均水温から与えられる各パラメータと固定して得られた上層O-Pの季節分布と対比したもののが図-6である。同図から明らかなように、両者の間にほとんど有意な差はない。したがって、たとえば夏場のみの水質分布を計算する場合には、パラメータと周年変化をとじて長時間計算しなくとも、夏場の平均的な固定パラメータによって十分計算可能なことが示される。

### 3.3 溶出速度と長期変動

時間スケールのとり方に応じて、さらに、2.2でとりあげた底泥からの溶出速度の推定について検討した。このモデルでは題となるのは、溶出に關係する底泥層は過去100年にも及ぶ長期間のうちに形成されたもので、その生成過程で忠実にとかのぼってシミュレーションをするためには、O-Pの沈降速度やDOに対する経年変化値が必要となる。既往データからこれらの値を正確におさえることは不可能であるが、大阪湾水質について神戸海洋気象台<sup>3)</sup>により、1934, 1952, 1977, および1983年について下層O-P, DO濃度が測定されている。これらの数値データをつかまわりに、湖水巾から底泥へ負荷されるO-P沈降負荷量は下層O-P濃度k<sub>1</sub>とすればして過去100年間の推移を図-7のように推定した。同様にDOについても次式で示されるDO減少係数βと既往データとともに図-8のようになされた。

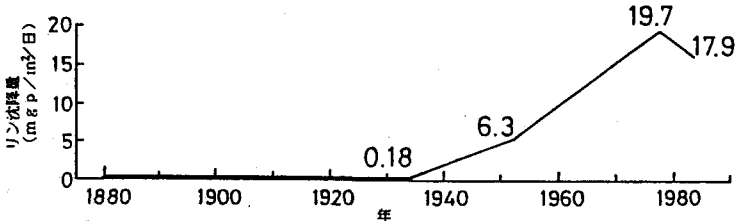


図-7 O-P沈降負荷経年変化

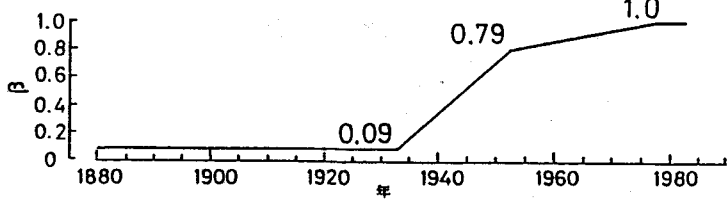


図-8 酸素減少係数経年変化

$$DO = DO_1 - (DO_1 - DO_2) \times \beta \quad (11)$$

ここに、DO<sub>1</sub>: 適分31.6%で与えられた水槽での飽和酸素濃度, DO<sub>2</sub>: 実測DOである。DO<sub>1</sub>およびDO<sub>2</sub>については実測値とともに季節変化パラメータを設定し、年用変化をくり返し与えた。一方、上述の計算において、O-P沈降速度, DOとともに経年変化を考慮せず、現状値の季節変動パラメータのみをくり返し与えて各濃度が定まるまでのシミュレーションを別途行なった。

このようにして得られた年16)溶出速度を時間に対してプロットしたもののが図-9である。図-9(b)はO-P沈降速度およびDOの経年変化をとじたケースである。年間溶出速度は図-7のO-P沈降速度にほぼ応じて増加しており、1970年以降は急上昇して1982~1983年にかけて4 g-P/m<sup>2</sup>/年となっている。一方、図-9(a)では1983年の大阪湾における沈降物組成試験より算出したO-P沈降速度1.9 mg/m<sup>2</sup>/日に対し、前述水質モデルによる通常計算より算出した下層O-Pの年間変化パラメータを重ねて与えた。DOについては上述のDO<sub>2</sub>を年間変化としてくり返し与えた。この結果、PO<sub>4</sub>-Pの年間溶出速度は同じように示すように計算開始後約40年でほぼ一定値に近づき、その大きさは4.04 mg-P/

$m^2/\text{日}$ が得られた。この値は図-9(b)の最終年近傍での値とよく一致しており、数十年オーダーの長期間にわたる過程でも過去のリード濃度やDOといったよろづや経年変化の経歴をそれほど大きく追跡しなくても現在溶出速度を再現し得ることわかる。

以上、水質または溶出速度の計算において、周日変動やその平均値、周日変動とその平均値、および、さらに大きな経年変化と間隔的な取扱いによる相互の差違について持続的水質モデルおよび溶出モデルにより検討した。これらの結果より導かれた推論は多く用いたモデルの特性に依存するところ大きいと思われるが、シミュレーションの目的に応じ、時間的に複雑に変動する諸量に対し適当な時間スケールで平均化して取扱之は解析が容易となるばかりでなく、精度的にも実用上ほとんど問題にならないことが明らかとなった。

#### 4.まとめ

本研究で得られた成果を要約するとつきのとおりである。

- 1) 植物プランクトンの内部生産速度に対し、水温、照度により変動する周日変動パターンと日平均の一走査として与えてもそれによって算出される水質にはほとんど影響しない。
- 2) 水塊変化に伴うリード-P, CODの分解速度、DO消費速度、PO<sub>4</sub>-P, CODの溶出速度の夏期の平均的条件によって、周年変化を与えて求められる水質分布の夏期の平均値とはほとんど違わない結果をより簡単に得ることができる。
- 3) 表泥からの溶出速度に対し、リード-P沈降速度とDOの経年変化を過去にとかのぼることなく、現状の条件を与えて定常値を得られるまで計算することによって再現することができる。

#### 参考文献

- 1) 坂江 豪・細川恭史, 第30回海岸工学講演会論文集, PP 546~550, 1983.
- 2) 坂江 豪・細川恭史, 第31回海岸工学講演会論文集, PP 705~709, 1984.
- 3) 下川恭平, 水質汚濁研究, Vol. 4, No. 1, PP 31~36, 1981.

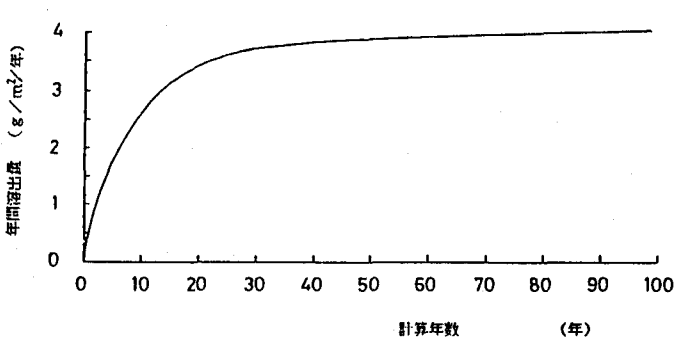


図-9(a) PO<sub>4</sub>-P年向溶出量(周年変化のくり返し)

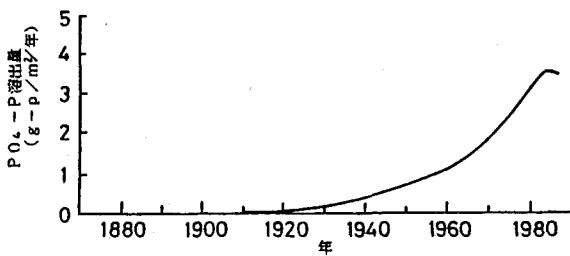


図-9(b) PO<sub>4</sub>-P年向溶出量(経年変化考慮)